58

篇文

【論 26-3】

水泳人体シミュレーションソフトウェア Swumsuit の開発†

中島 求*

ABSTRACT This paper describes the swimming human simulation software "Swumsuit", which was developed by the authors in order to analyze mechanical problems in human swimming. Swumsuit is an implementation of the swimming human simulation model "SWUM", which has been developed by the authors and whose validity has been already verified. Swumsuit is a free software under GPL, and consists of the analysis engine part written in Fortran and GUI part written in Tcl/Tk. In this paper, the summary of SWUM is firstly described. Next, Swumsuit's structure, specification, and the function of each part, that is, startup window, editor for body geometry, joint motion and analysis settings, animation display part, and graph display part, are respectively described in order to show its practicality. In addition, analysis examples and its applications in various areas are demonstrated in order to show its usefulness.

1. はじめに

水泳における力学的問題に関しては、これまで多く の研究が行われているが、全身各部に働く非定常流体 力と全身の動力学をすべて考慮した議論は十分なされ ておらず, 議論のための解析ツールもほとんど存在し ていなかった. そこで著者らは近年, 水泳における全 身の動力学を詳細に表現することができ, 力学的諸問 題のための汎用解析ツールとなることを目指した水泳 人体シミュレーションモデル SWUM (SWimming hUman Model)を提案している. 本シミュレーションモ デルにおいては、身体各部に働く流体力として付加質 量力, 法線方向抵抗力, 接線方向抵抗力, および浮力 が考慮され,全身の相対運動を関節角として与えるこ とにより,一つの剛体とみなした全身の絶対運動が求 められる. そして実際の映像に基づいて関節運動を入 力した6ビートクロール泳の解析を行い、泳速度を実 際と比較したところ良い一致が見られ、シミュレー ションモデルの妥当性が確認されている".

本シミュレーションモデルは上記のように妥当性も確認され、水泳における様々な力学的問題に適用することが可能と考えられるが、これまで本モデルの実装はFortranプログラム上で行われ、何らインターフェースなどを有していなかったため、本モデルを使用する

Development of the Swimming Human Simulation Software "Swumsuit". By *Motomu Nakashima* (Tokyo Institute of Technology).

*東京工業大学大学院情報理工学研究科情報環境学専攻 †2006年10月10日受付 2007年1月5日再受付 ためには何千行ものソースコードをすべて理解しなけ ればならず, 開発者や一部の人間しか用いることがで きなかった. そこで著者らは今回, 水泳のシミュレー ションが誰でも容易に行えるよう、新たにGUI (Graphical User Interface) によるインターフェース部分 を開発し、Fortran部分と統合したシミュレーションソ フトウェアを開発したので本論文にて報告する. 本シ ミュレーションソフトウェアは Swumsuit (SWimming hUman Model with Synthetic User Interface Tools)と名付 けられ, 使用や改変が自由なライセンス形態である GPL(GNU General Public License²⁾) に従って配布され るフリーソフトウェアであり、すでに著者らのウェブ サイト(http://www.swum.org/)にてサンプルデータやマ ニュアルとともに公開されている.このような水泳の 力学シミュレーションが可能なソフトウェア自体, 類 を見ないものであるが, 本ソフトはさらにフリーソフ トとして公開され誰でも利用可能な環境が提供されて おり、その存在意義は大きいと考えられる.本論文で は、まずシミュレーションモデルSWUMの概要を述べ た後、ソフトウェア Swumsuit の構造、仕様、各部の具 体的機能について述べ, 本ソフトウェア上で何ができ るかを示すことにより、ソフトウェアの実用性を示す. そして様々な分野における解析例と応用範囲を述べる ことにより、その有用性を示す.

2. シミュレーションモデル SWUM 概要

本シミュレーションモデルは、泳者の身体の相対運動を関節角として与え、一つの剛体としての全身の6

自由度の絶対運動を,身体についての剛体の運動方程 式により求めるものである.よって、泳速度、身体の 浮き具合, さらには身体全体のロール・ピッチ・ヨー の回転運動などが計算結果として求まる. また身体に 働く外力としては, 浮力を含む非定常流体力および重 力を考慮する. 非定常流体力については, 流れ場は解 かずに、身体各部位の運動状態(位置,速度,加速度, 向き, 角速度, 角加速度) から流体力が求まると仮定す る. 流体力の成分としては、付加質量力、法線方向抵 抗力,接線方向抵抗力,および浮力を考慮する.本流 体力モデルにおける諸係数については、既報1)におい て, 四肢模型を用いた著者らの実験と, 実際の泳者の けのび姿勢における抵抗測定の従来研究の結果を用い て同定した. その結果, 流体力モデルについては実験 に対して10%程度の誤差を有するものの, 傾向は十分 捉えられることがわかった.また既報!)における6ビー トクロールの解析例では、シミュレーション結果の泳 速度は実際より7.5%程度低めなものの,現象を十分表 現できることがわかった. 本シミュレーションモデル および上記の結果の詳細については既報いを参照され たい.

なお本シミュレーションモデルに類似性のあるモデルとして、篠原ら³」によるモデルが挙げられる。しかし既報□中でも述べているように、篠原らのモデルにおいては、人体モデルの体節(body segment)数や形状に関してもかなりの単純化がなされており、水中と空中の違いも考慮されておらず、流体力としても速度の2乗に比例する抵抗力しか考慮されておらず、さらに抵抗力の係数値についても実験的に求めたものでなく、定量的議論をするには不十分であった。著者らのシミュレーションモデルは、これらの篠原らのモデルの不足点をすべてカバーしている点が異なる。

3. シミュレーションソフトウェアSwumsuit

本章では、まずソフトウェアの構造と主な仕様について述べた後、各部の具体的機能について述べ、本ソフトウェアの実用性を示す.

3.1 ソフトウェアの構造と主な仕様

Swumsuitは、Fortranにより記述された解析エンジン部と、GUI開発に適したスクリプト言語であるTcl/Tk⁴により記述されたGUI部とからなる。図1にSwumsuitの構造を示す。色のついた部分がソフトウェアを表わす。シミュレーションモデルSWUMを実装した解析エンジン部は、身体形状データファイル、関節運動データファイル、および解析設定データファイルの三個の

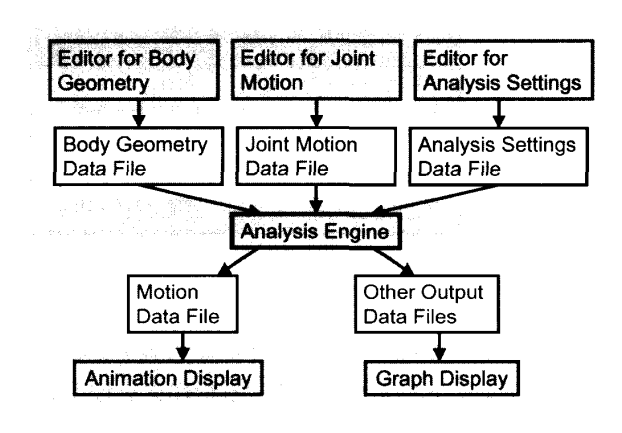


図1 Swumsuit の構造

入力ファイルを読み込む.これらのデータファイル中のデータは、GUIによるそれぞれの編集部を用いて変更可能である.出力については、泳運動のアニメーションを表示するためモーションデータファイルが生成される.またそれ以外にも、泳速度、身体重心の絶対位置・速度、消費パワー、推力、ロールモーメント、全ての関節の関節トルク等、多くのデータファイルが出力される.これらの出力データファイルはグラフ表示部によって表示される.

ソフトウェアの動作環境としては現在、Tcl/Tkのクロスプラットフォーム性により Windows (2000, XP以降) およびLinux上で動作する. また本ソフトウェアの開発には以下のツールを用いた. OpenGL アニメーションのために $Tcgl^{5}$, グラフ表示のために BLT^{6} , Tcl コードをラッピングし一つの実行ファイルにするために free $Wrap^{7}$, Fortran コンパイラとして Visual Fortran⁸, そして解析エンジン部での数値計算のために数値計算ライブラリの $SLATEC^{9}$ である.

なお現在日本語版と英語版が用意されており、起動時に選択することが可能である。両者の違いはメッセージ部分のデータのみである。また、このメッセージ部分のデータはプログラム本体から完全に切り離されているため、多言語対応することも容易に可能である。

3.2 起動ウィンドウ

図2に起動ウィンドウのスクリーンショットを示す. Swumsuitを起動してまず現れるのが本起動ウィンドウである. この起動ウィンドウの各ボタンをクリックすることにより, 以下に述べる個別の機能が呼び出される. また Swumsuit においては, すべての入出力データファイルを含んだデータセットが"プロジェクトフォルダ"という一つのフォルダに格納される. よって

図2 起動ウィンドウ

ユーザは一つ一つのデータファイルを意識することなく,プロジェクトフォルダ単位で解析作業を行うことができる.

3.3 身体形状編集部

図3に示す身体形状編集部では身体形状の編集が可 能である. 図3(a)に起動ウィンドウから起動した身体 形状編集部のメインウィンドウを示す. SWUM では、 人体は21個の体節(body segment)の剛体リンクの連な りとして表現される. 各体節は順に, 下腰(腰部の下 部),上腰(腰部の上部),下胸(胸部の下部),上胸(胸 部の上部), 肩, 首, 頭, 上臀部(臀部の上部), 下臀部 (臀部の下部), 右腿, 左腿, 右脛, 左脛, 右足, 左足, 右上腕, 左上腕, 右前腕, 左前腕, 右手, 左手である. さらに各体節は, 楕円錐台(長軸・短軸半径が長手方向 に沿って一次的に変化する楕円柱)として表現される. よって体節の形状としては、楕円錐台の根本・先端そ れぞれでの長径・短径(Swumsuit 上では「奥行き・幅」 と表現される)および長さを設定する必要があり、さら に水に対する比重(密度)も各体節ごとに設定される. また体節同士の連結点の変位のオフセット量(例えば肩 関節の位置を記述するのに必要である)も設定可能であ る.

形状の設定の結果は、メインウィンドウにおいて「図」をクリックして起動される、図3(b)に示される図ウィンドウで確認することができる。図ウィンドウではマウスのドラッグにより任意の角度から身体を眺めて確認することができる。

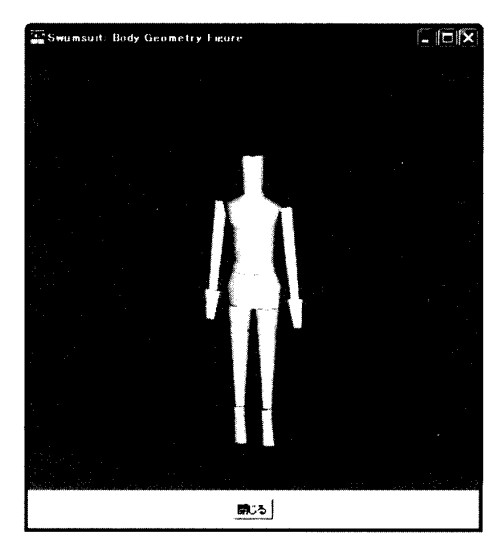
現在ウェブサイトにてサンプルデータとして公開されているのは、日本人の人体形状データベース(**)に基づいた、日本人20代男性平均の身体形状であるが、著者らはすでに、人体形状データベースから各楕円錐台寸法を算出するアルゴリズムを作成済みであるので「、今後順次、様々な性別・年齢層の楕円錐台形状データを公開していく予定である.

3.4 関節運動編集部

図4に示す関節運動編集部では,身体の関節運動(各部の相対運動)の編集が可能である.まずSWUMにお

	根本奥行き	根本幅	先端奥行き	先端幅	長さ	密度
腰	0.0646334	0 0846963	0.0600203	0.0787683	0.0353079	1.042
上腰	0.0600203	0.0787683	0.0711379	0.0846774	0 0718475	1.042
- Na	0.0711379	0.0846774	0.0822555	0.0905865	0.0718475	0.7
胸	0.0822555	0.0905865	0.0585924	0.113724	0.0656891	0.7
ŧ	0.0585924	0.113724	0.0406597	0.0406597	0.0312023	1.042
t	0.0406597	0.0406597	0.033903	0.033903	0.0164223	1.042
	0.041393	0.0405718	0.0551906	0.0486862	0.139062	1.042
普部	0.0646398	0.0846908	0.0654023	0.105926	0.0544169	1.042
福骨?	0.0654023	0.105926	0.0500197	0.10003	0.0748959	1.042
5 fil	0.0500148	0.0500148	0.0344282	0.0329589	0.187566	1.042
E Bill	0.0500148	0.0500148	0.0344282	0.0329589	0.187566	1.042
整	0.0344282	0.0329589	0.0203588	0.0203588	0.180938	1.042
歷	0.0344282	0.0329589	0.0203588	0.0203588	0.180938	1.042
定	0 0378481	0.0203588	0.0106976	0.0282405	0.137193	1.042
E定	0.0378481	0.0203588	0.0106976	0.0282405	0.137193	1.042
上腕	0.0260342	0.0260342	0.0233552	0.0233552	0.186628	1.042
上腕	0.0260342	0.0260342	0.0233552	0.0233552	0.186628	1.042
前腕	0.0233552	0.0233552	0.0119648	0.0180051	0.15132	1.042
前腕	0.0233552	0.0233552	0.0119648	0.0180051	0.15132	1.042
i#	0.0119648	0.0294135	0.00410557	0.0150147	0.107331	1.042
Ŧ	0.0119648	0.0294135	0.00410557	0.0150147	0.107331	1.042
開節	上院根本部	のyb方向距離	-0.00779373	3233		
関節と	上上院根本部	のzb方向距離	0.013137829	9 🕦	際の身長 [m]:	1.705
作機と	:頭根本部の:	心距離	0.005991970	12 寒	弊の体重 [ke] :	64.9
* 特部	先端と股関節の	のyb方向距離	0.050014790	19		
臀部?	先端と股関節(のzb方向距離	0.068856305	5		
先機	足関節のzb	方向距離	0.037419354	18		
下青	部の回転角度	[rad]:	0.014011964	14		

(a)メインウィンドウ



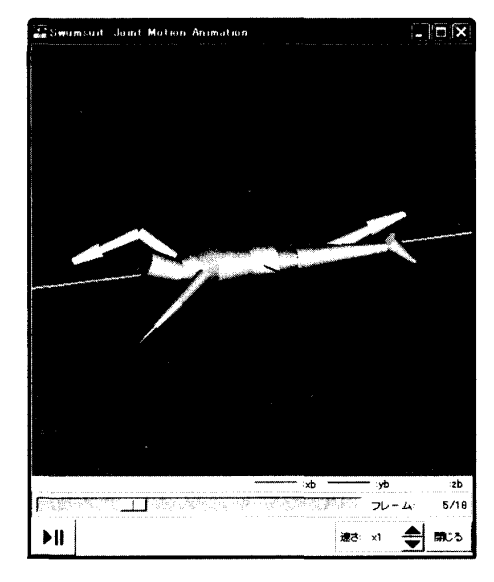
(b)図ウィンドウ

図3 身体形状編集部

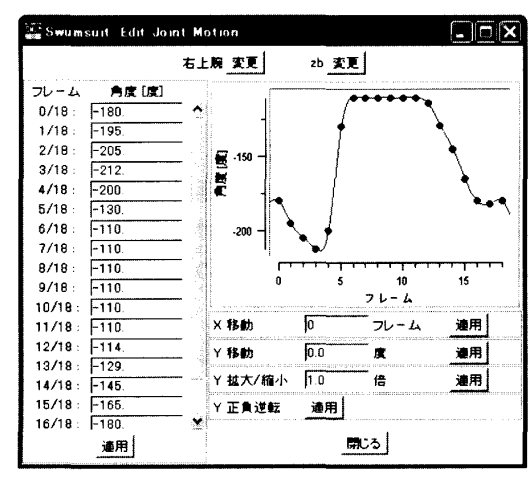
いては、関節運動は後述する胴体基準座標系 $O-x_by_bz_b$ の各軸方向まわりの各体節の回転として表現される. また運動 1 周期は複数の時間フレームに分割され、各



(a) メインウィンドウ



(b) 関節運動表示用アニメーションウィンドウ



(c) 関節運動個別編集ウィンドウ

図4 関節運動編集部

フレームでの回転角度をユーザが与える. フレーム間 の角度は, 解析エンジンにおいて自動的にスプライン 関数補間されて与えられる.

図4(a)に関節運動編集部のメインウィンドウを示 す. 左上の「フレーム数」は、1周期を何個の時間フ レームに分割するかを示す.右側は、すべての体節の 回転をリスト形式で示したものである. リスト中の左 端の列は回転させる体節であり、2番目の列は回転軸 を表す.3番目以降の列は、各フレームでの回転角度 を示す. 図4(b)には関節運動表示用アニメーション ウィンドウを示す. 本アニメーションウィンドウはメ インウィンドウから起動でき, 設定した関節運動をア ニメーションやコマ送りにより確認することができる. 本ウィンドウ中には人体を貫く3本の直線として胴体 基準座標系 O- $x_{i}y_{j}z_{i}$ が示されており, x_{i} , y_{i} , z_{i} それぞれ が,解剖学上の定義における人体矢状軸,横軸,縦軸 に対応する. Swumsuitでは、この3本の軸に平行な方 向の回転のみ可能となっており,複雑な向きは組み合 わせにより表現される. 例えば図4(a)の右側リスト部 において現在選択されているのは右上腕の z_b 方向の回 転(解剖学における肩関節の内旋・外旋に対応する)で ある. 右上腕にはその他にも三つの回転が設定されて おり、その結果として右上腕の向きが決定される.

図4(a)のメインウィンドウでは回転の切り取り、コ ピー、貼り付けや、フレーム数変更が可能である、フ レーム数変更においては、古い分割数で各フレーム間 をスプライン関数補間された曲線が, 新しいフレーム 数で再分割される.また「運動を編集」をクリックす るか、右側のリストの該当の回転をダブルクリックす ることにより、図4(c)の関節運動個別編集ウィンドウ が起動される. 本ウィンドウにおいては該当の回転の 1周期分の角度値を設定可能である.画面左側では個 別に値を入力することができ、右下部では、全体の横 軸・縦軸方向の移動や,拡大・縮小,正負逆転といっ た,編集作業において頻繁に必要となる作業が容易に 行えるようになっている. また右上には1周期分の角 度がグラフで表示され確認可能になっている. 画面最 上部では、この回転が対象とする体節や回転軸の変更 が可能である.

なおユーザが与えるべき角度の数は、(全体節の回転自由度の合計)×(フレーム数)だけあるので、一から泳動作を作成するのは煩雑な作業となるが、前述の著者らのウェブサイトではすでに4泳法(クロール、平泳ぎ、背泳ぎ、バタフライ)についての標準的泳動作の関節運動データが公開されているので、これを基に所望

62

の泳動作を作成すれば省力化が可能である.

3.5 解析設定編集部

図5に示す解析設定編集部では、さまざまな解析条件の編集が可能である。まず起動ウィンドウにおいて「解析設定を編集」をクリックすると、「計算設定」「初期条件」「出力設定」が選択でき、それぞれを編集するためのウィンドウが起動される。以下それぞれのウィンドウについて述べる。

図5(a)には計算設定編集ウィンドウを示す.まず上部7行では、身体の質量中心、慣性主軸の向き、および身体の6自由度の剛体運動の運動方程式を解くか与えるかが選択可能である.これらは、SWUMにおいては基本的にはプログラムにより解かれるものである.すなわち、身体の相対運動を与えることにより、各瞬間での身体の質量中心と慣性主軸の向きが求められ、

関量中心と慣性主軸 (方向速度 (方向速度 ・方向速度 ・動まわりの角速度 ・動まわりの角速度 ・動まわりの角速度 ・動まわりの角速度 ・固期の実際の時間 [sec] : 上位泳速度当たりのけのび時の抵抗 [N] : 乱体力係数 (Cn) : 乱体力係数 (Ct) : 二体分係数 (Ct) : 二体分係数 (Ct) : 二体分係数 (Ct) : 二体分係数 (Ct) : 二体分係数 (Ct) :	1.	. 95	6 6 5 5 5 5 5	2 < 2 < 2 < 2 < 2 <		E E	くえええええ
お向速度 動まわりの角速度 動まわりの角速度 動まわりの角速度 周期の実際の時間 [sec] : 単位泳速度当たりのけのび時の抵抗 [N] : 流体力係数 (Cn) : 流体力係数 (Ct) : 流体力係数 (Ct) : 流体力係数 (Ca) :	1.	. 95	A 555	平く 早く 早く 早く	7	£	ええ
軸まわりの角速度 軸まわりの角速度 軸まわりの角速度 周期の実際の時間 [sec] : 単位泳速度当たりのけのび時の抵抗 [N] : 流体力係数 (Cn) : 流体力係数 (Ct) : 流体力係数 (Ct) : 流体力係数 (Ct) : 流体力係数 (Ct) : 流体力係数 (Ct) :	1.	. 95	# # 555	4 < 4 < 4 <	7	1	え
職まわりの角速度 職まわりの角速度 周期の実際の時間 [sec] : 単位泳速度当たりのけのび時の抵抗 [N] : 流体力係数 (Ct) : 流体力係数 (Ca) : 6 全て同じ (** 体節毎に設定 ************************************	1.	. 95	555	4 < 4 <	ر د	#	え
職まわりの角速度 周期の実際の時間 [sec] :	1.	.95	555	₽ <	۲		
周期の実際の時間 [sec] : 単位泳速度当たりのけのび時の抵抗 [M] : 歳体力係数 (Ch) : 歳体力係数 (Ct) : 歳体力係数 (Ca) : ほそ 全て同じ (**) 体節毎に設定 ************************************	1.	.95	555			£	える
単位泳速度当たりのけのび時の抵抗 [N] : 歳体力係数 (Ct) : 歳体力係数 (Ct) : 歳体力係数 (Ca) : ほ 全て同じ (**) 体節毎に設定 ************************************	1.	.00		555	5 5		
混体力係数(Cn) : 煮体力係数(Ct) : 煮体力係数(Ca) : 煮体力係数(Ca) : G 全て同じ C 体節毎に設定 <u>30 を</u>	İī.		901	~~~~			
歳体力係数(Ct) : 歳体力係数(Ca) : ⓒ 全て同じ ⓒ 体節毎に設定 35%				185	58		
流体力係数 (Ca) :	·	.07	749	258	13		
② 全て同じ ○ 体節毎に設定 ③ 元	0.	03	B				
The same of the contraction of the same of	0.	65	084	505	4		
+質する関節数 :							
1 100 1 00 (mai) 41 NV	5		-				
周期の時間分割数 :	7	2					
条円鋒台長手方向分割数 :	111	0					
养円錐台半径方向分割数 :	11)					
养円錐台円 周方向分割数 :	3	S					

(a)計算設定編集ウィンドウ

初期位置		×	;	0.0		у	:	0.0		z	:	0.0
慢性主軸の初期の向き	1	×	:	-1.0	wasterno mare actual.	у	:	0.0	III DESCRIPTION OF THE PROPERTY OF THE PROPERT	z	:	0.0
	2	X	:	0.0		у	;	-1.0		Z	:	0.0
	3	x	:	0.0		у	:	0.0		2	:	1.0
初期速度		×	:	0.0	-	У	:	0.0	onement of the con-	z	:	0.0
初期角速度		×	:	0.0		у	;	0.0	manufacture and a second	z	:	0.0
x-y平面での初期の向き	+ (0	T	**	宝):[4.865							

(b) 初期条件編集ウィンドウ

剛体としての運動	6	全て	の見	Ŋij	^	最行	後の	1	周期	(なし
流体による力,モーメント,パワー	(全て	の見	1) MA	•	最往	隻の	1	周期	(なし
闘節トルク(各体節の付け根における)	r	全て	の	n pun	•	最	後の	1	周期	r	なし
アニメーション	•	全て	の R	明期	^	最	食の	1	周期	r	なし

(c)出力設定編集ウィンドウ

図5 解析設定編集部

質量中心と慣性主軸を基準とした、身体を一つの剛体 とみなした並進と回転の6自由度の運動方程式が解か れる.しかし解析対象によっては、剛体としての運動 はユーザが与え,身体各部に働く流体力のみを算出し たい場合,すなわち完全な逆動力学問題の場合もある. そのような場合には、ユーザが与える自由度のみ本 ウィンドウで「与える」を選択すれば、その自由度に ついては別途ユーザが用意するデータファイルから データを読み込んで解析を実行するようになっている. 次に、8~13行目は解析を実際と対応付けるための諸 パラメータである. [1周期の実際の時間 | は解析エン ジン中では無次元化して行われる計算を有次元化する ために用いられる.「単位泳速度当たりのけのび時の抵 抗」は水泳における推進効率(パワー効率)の計算に用 いられる.「流体力係数 (C_{a}, C_{b}, C_{a}) 」はSWUMの流体 力モデルにおける係数であり, それぞれ法線方向抵抗 力,接線方向抵抗力,流体の付加質量による慣性力の 係数である. 現在のSWUMにおいては, これらは身体 各部においてすべて同じ値を用いているが,体節ごと に異なる係数を設定することも可能である.14~18行 目は分割数などの数値計算のためのパラメータである.

次に図 5(b) に初期条件編集ウィンドウを示す.本ウィンドウでは泳者身体の初期位置・向き,および初期速度・角速度が設定される.これらは絶対座標系 O-xyz において設定される.x-y 平面が水面に対応し,z 軸が鉛直方向である.

次に図5(c)に出力設定編集ウィンドウを示す.本ウィンドウでは、PCのディスクスペース節約およびデータ書き込みによる時間ロスの防止のため、出力結果について、全ての周期出力するのか、最後の1周期のみ出力するのか、出力しないのか選択することができる.後に3.7節で見るように、データファイルはさらに細分化されているが、ここでは4種類のカテゴリー単位で設定される.

3.6 アニメーション表示部

図6に、起動ウィンドウから起動される、解析結果表示用アニメーションウィンドウを示す。本ウィンドウでは、解析結果としての身体の絶対運動と、身体各部に働く流体力が視覚化される。まず画面中央付近に身体が表示され、泳速度に対応して、濃淡で塗り分けられた水面が移動する。淡い領域と濃い領域の泳方向についての長さの和が1周期に進む距離を示している。また身体各部に働く流体力の向きと大きさが、身体から出ている赤線によって示される。ここで定常状態に落ち着く泳動作の場合、最後の1周期のみを繰り返し

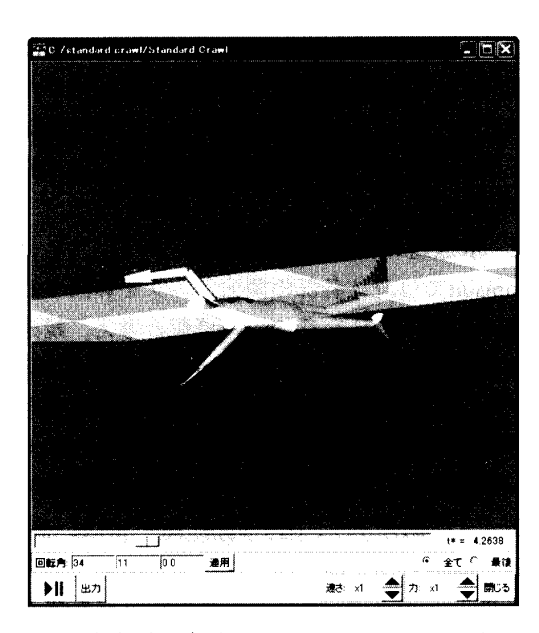


図6 解析結果表示用アニメーションウィンドウ

見たい場合があり、また一方、定常状態に落ち着く過程を見るため全ての周期の運動を見たい場合もあるため、画面右下において、全ての周期か最後の1周期かを選択できるようになっている。またアニメーションが表示されている画面上でマウスをドラッグすることにより、視点を回転して変更することができる。また画面下部のスライダにより、コマ送りなども可能であり、画面右下において、流体力を表す赤線の長さや表示速度も調整可能である。さらに「出力」をクリックすることにより、アニメーション結果を様々な形式で出力することが可能である。現在対応している形式は、BMP、GIF、JPEG、Encapsulated Postscript(以上静止画像)およびMPEG動画である。

3.7 グラフ表示部

グラフ表示部では、解析エンジンが出力した様々な結果をグラフ表示する。まず起動ウィンドウにおいて「グラフ」をクリックすると、「1周期毎の量」「剛体としての運動」「流体による力、モーメント、パワー」「関節トルク」の4個のカテゴリーが表示される。「1周期毎の量」では、泳速度、ストローク長、向き、パワー効率(推進効率)、入力パワー(身体がしたパワー:パワー効率の分母)、出力パワー(身体を推進体とみなしたときに推進体がするパワー:パワー効率の分子)が出力される。

次に「剛体としての運動」では、身体重心の絶対座標系 *O-xyz* における位置、速度、加速度、また回転の角速度、角加速度などが出力される。

「流体による力、モーメント、パワー」では、力とパ

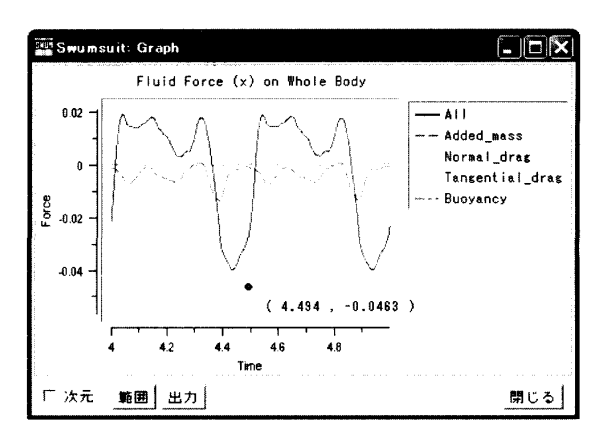


図7 グラフ表示ウィンドウ(6 ビートクロールにおける x 方向流体力)

ワーについてはx,y,z軸方向,モーメントについては身体の剛体としての3本の慣性主軸方向成分が表示される。そしてそれぞれについて、全身、上肢・下肢・体幹、または21個の各体節について、各々に働く成分を表示可能である。さらに、すべての流体力成分の合計と、それぞれの流体力成分が複数の曲線でグラフ中に描画される。

「関節トルク」では、各体節間の位置における、絶対 座標x,y,zと胴体基準座標 x_b,y_b,z_b のそれぞれの軸方 向まわりのモーメント(トルク)が表示される。例えば 右肩における関節トルクを見たい場合には、右肩を始 点とする体節、すなわち右上腕を選択する。

図7にグラフ表示画面の例として、既報"にて示した標準的6ビートクロールにおける x 方向の流体力のグラフを示す。各流体力成分の凡例なども自動的に出力される。左下の「次元」のチェックボックスにチェックを入れるかどうかで、グラフの有・無次元を変更できる。また「出力」をクリックすることにより、グラフを様々な形式で出力することが可能である。現在対応している形式は、クリップボード、WMF(Windowsメタファイル)、EMF(拡張メタファイル)(以上 Windows上のみ)と、Encapsulated Postscript である。

4. 解析例と応用範囲

本章では、様々な分野におけるSwumsuitを用いた解析例と応用範囲を述べることにより、本ソフトウェアの有用性を示す. なお本章で示すグラフはすべてSwumsuitから直接出力されたものである.

4.1 水泳のメカニクスの解析

前章にて述べたように、Swumsuitでは様々な物理量を出力することができるので、それらを用いて水泳と

いう運動自体のメカニクス(動力学)を理論的に考察することが可能である。例として**図8**および**図9**に,標準的6ビートクロールの場合の重心のx方向(泳方向)の速度変動の1周期分,および左手に働くx方向流体力をそれぞれ示す。ここでは-x方向に推進しているので,速度としては負となり,流体力も負の成分が推力を表す。図8について、8.55s~8.80sにかけて絶対値が増加しており加速しているが,これは図9で示される,左手が水を最も強く押して推力を得る,いわゆるプッシュ局面に対応する。よってこの加速は手の推力によることがわかる。また図9については,線が重なっており見づらいが,8.5s~8.9sにかけての大きなピークは,ほとんどが法線方向抵抗力成分(図中のNormal drag)であることなど,どの流体力成分が寄与しているかも知ることができる。

なお著者らはすでに、標準的な6ビートクロールにおける、各流体力・身体各部の推力への寄与、バタ足の効果、自己推進時抵抗の算出、ロール運動、および推進効率について解析を行っている¹¹¹. また平泳ぎ、背泳ぎ、バタフライの解析、およびクロールを含めた4泳法の力学的な比較も行っている¹²². 今後はフォームの個人差による違いなどが解析されるべき研究課題として挙げられる.

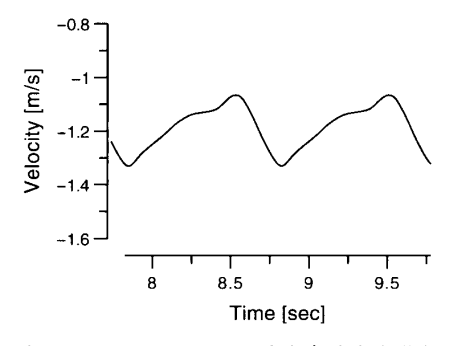


図8 6ビートクロールにおける泳方向速度変動(1周期分)

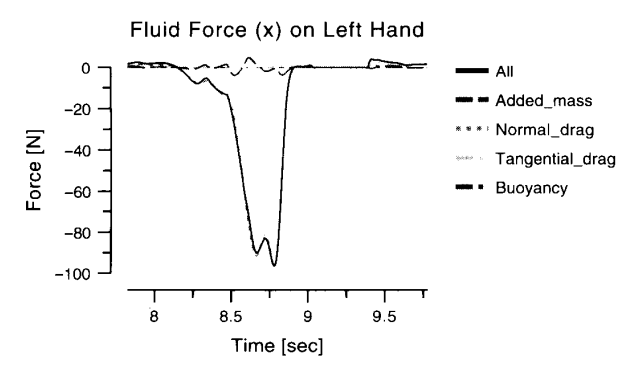


図9 6ビートクロールにおける左手に働く x 方向流体力 (1 周期分)

また、図6で示したように本ソフトウェアでは身体の運動だけでなく身体に働く流体力も視覚化されるので、競泳選手のトレーニングやコーチングの現場などで、イメージをつかむための教育用に用いられることも期待される.

4.2 水泳時の身体負荷の解析

Swumsuitでは身体各部の関節トルクを算出すること が可能なため,これを身体への負荷と考え,競泳選手 の傷害予防に役立てることができると考えられる. 図 10に例として、標準的6ビートクロールの場合の上 腰・下腰間(本箇所は解剖学上の定義での「ウエスト 高」の位置に対応する)の関節トルクの身体横軸(y_k)方 向成分を1周期分示す. 図中 upper side, lower side とあ るのは、関節トルクの算出方法によるものである。す なわち関節トルクは、関節トルクの算出点を挟んで両 側から、身体各部に働く流体力、自身の慣性力、重力 による寄与を合計することによりそれぞれ算出される. 両者は厳密には一致するはずであるが, 計算誤差によ りずれが生じる.よって Swumsuit では両者の平均を 取って関節トルクとしている。図10において大きく6 回のピークがあるのはバタ足によるものであり、また 手のかきに対応して、より大きなピークが8.7s付近と 9.7s付近に2回出ている. 著者らはすでに, この短い 周期の変動的な負荷が競泳選手の腰部に及ぼす影響に ついて, さらに筋骨格モデルを用いたシミュレーショ ンおよびX線シネ撮影装置を用いた実験を行い, その メカニズムの検討と、腰部傷害予防についての提言を 行っている13). 今後は他泳法や身体の他部位の傷害な どが課題として挙げられる.

4.3 肢体不自由者の水泳

水泳を競技としてではなく日常的なエクササイズと して見た場合,水泳は健常者にとって理想的な全身運動と言われているが,肢体不自由者にとっても重力か

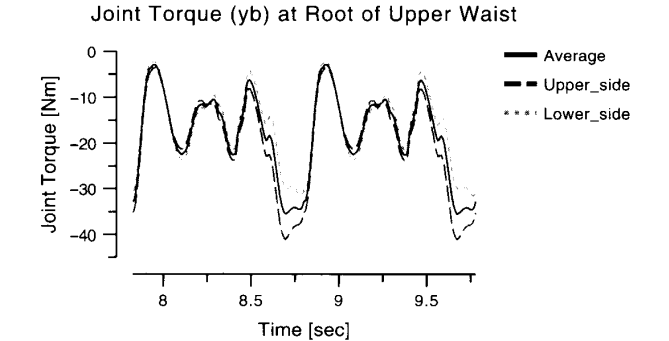
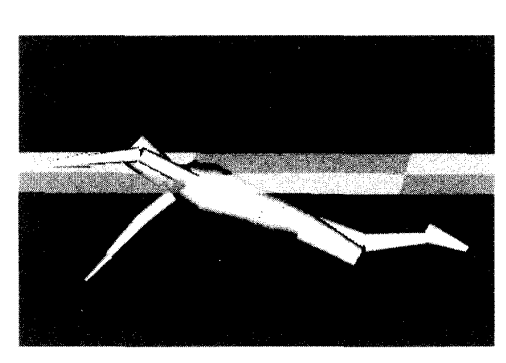


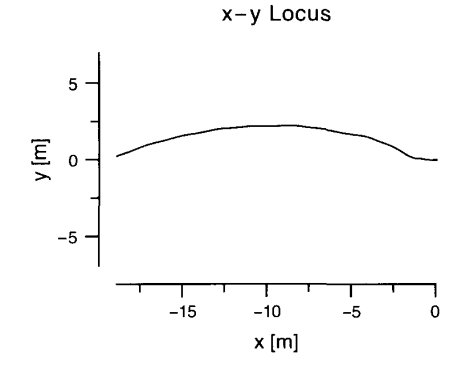
図10 6ビートクロールにおける腰部関節トルクの身体横軸方向成分(1周期分)

ら解放され自由に身体を動かすことができ魅力的な運 動である.しかし肢体の不自由により、左右のアンバ ランスが生じるなどの問題が考えられるため, そのよ うな問題にSwumsuitを適用することが考えられる. 3.3 節で述べたように、Swumsuit では身体形状を任意 にユーザが設定できるため, 切断の肢体不自由を表現 することも可能である.図11に例として左膝関節離断 の場合の6ビートクロールの解析結果を示す. 本結果 は、関節運動は健常の場合と同じとして、左脛および 左足の長さを0として計算したものである. 図11(a)を 見ると, 左下腿以下が無いことにより下半身が沈み気 味になっていることが確認できる. また図11(b)には 10周期分の身体重心の水面(x-y 平面)での軌跡を表す. 右端の原点から出発し、健常であれば定常状態に達し て直線的に推進するはずであるが, 下腿以下が無いこ とにより反時計回りの方向に弧を描いて推進している ことがわかる.

なお著者らはすでに、片上腕切断の場合について、切断の影響の解析を行い、その影響を軽減する補助具の設計をSWUMに最適化手法を組み合わせることにより行っている。そして最適設計結果に基づき補助具を試作し被験者実験を行いその有効性を確認している¹⁴.



(a)運動の様子



(b)身体重心の水面(x-y平面)での軌跡(10周期分)

図11 左膝関節離断の場合の6ビートクロールの解析結果

今後は様々な肢体不自由についてのより詳細な解析と、 アンバランスを軽減する補助具や泳フォームの提案な どが課題として挙げられる.

4.4 その他

その他にも著者らはすでに、ヒューマノイドロボットのモビリティを水中に拡張することを提案し、水泳用ヒューマノイドの設計用シミュレーションをSWUMを用いて行っている¹⁵⁾. Swumsuitでは関節トルクなどのロボット設計に必要な諸元が容易に求まることから、今後水泳用ヒューマノイドロボットの設計にも用いることができると考えられる. また著者らは、上手に泳げないと感じている水泳初心者を楽に泳げるようにすることを目的として、浮力体を内蔵した水着を提案し、その効果を実験および Swumsuit を用いたシミュレーションの両面から検討している¹⁶⁾. このような水着などの水中用具・装具の設計開発に本ソフトウェアを用いることも可能であろう.

さらに著者らは、水泳だけでなく水中ウォーキングにおける解析も本ソフトウェアを用いて行っている¹⁷⁾. 今後は、水中フィットネスなどの人間の水中運動全般に関する研究開発にも本ソフトウェアは適用可能であると考えられる.

なおバージョン2.0.0以降では、非線形最適化手法の滑降シンプレックス法が実装され、Swumsuit上でのパラメータ最適化計算が可能となった。Sugimotoらはすでにこの機能を用いて、ドルフィンキック時の泳速度の時刻歴をシミュレーションと実験で合わせるように流体力係数の最適化を行っている^[8].流体力係数以外にも、身体形状や関節運動を最適化することにより、用具・装具の最適設計や、より効率的な泳フォームの解明など、様々な応用が可能と考えられる。

5. おわりに

本論文では、筆者らが開発した水泳用解析ソフトウェアSwumsuitについて、まずシミュレーションモデルSWUMの概要を述べた後、Swumsuitの構造、仕様、各部の具体的機能について述べ、その実用性を示した。そして解析例と応用範囲を述べることによりその有用性を示した。今後は様々な分野に本ソフトウェアが利用されることが期待される。

ただし、改良すべき点もまだ残されている。例えば 身体形状や関節運動の入力方法についてである。現在 のソフトウェアではこれらをユーザが手動で入力しな ければならないが、身体形状についてはデジタルカメ ラ映像や三次元スキャナ装置の出力データ、関節運動 66

については三次元動作解析システムの出力データを、それぞれ本ソフトウェアに直接入力できれば労力の大幅な軽減が期待できる。よってこれらの出力データを本ソフトウェアへの入力データに変換するプログラムの開発が課題として挙げられる。また、ソフトウェアでなくモデル自体の問題であるが、人体に作用する流体力のモデルの詳細化・厳密化も重要な課題である。今後これらの課題を解決していき、本ソフトウェアをより発展させたいと考えている。

参考文献

- 1) 中島求, 佐藤憲, 三浦康郁:全身の剛体動力学と非定常 流体力を考慮した水泳人体シミュレーションモデルの開 発,日本機械学会論文集 B編, 71-705, 1361/1369 (2005)
- 2) http://www.gnu.org/licenses/gpl.html
- 3) 篠原主勲, 古川知成, 矢川元基:流体力学を考慮したスイマーのシミュレーションと準最適運動計画, 日本機械学会論文集 C編, **68**-673, 2643/2650 (2002)
- 4) http://www.tcl.tk/
- 5) http://togl.sourceforge.net/
- 6) http://sourceforge.net/projects/blt/
- 7) http://freewrap.sourceforge.net/
- 8) http://www.intel.com/software/products/compilers/fwin/
- 9) http://www.netlib.org/
- 10) 人間生活工学研究センター:日本人の人体計測データ

(CD-ROM) (1997) http://www.hql.or.jp

- 11) 中島求:水泳人体シミュレーションモデルによる標準的6 ビートクロール泳の力学的考察,日本機械学会論文集B 編,71-705,1370/1376 (2005)
- 12) 中島求:水泳人体シミュレーションモデルSWUMによる 平泳ぎ・背泳ぎ・バタフライの解析,日本機械学会流体 工学部門講演会講演論文集,**05**-32,1601(CD-ROM)
- 13) 中島求, 三浦康郁, 金岡恒治:水泳運動における腰椎の 負荷と挙動のシミュレーションと実験的検証, バイオメ カニズム, **18**, 45/55 (2006)
- 14) 米山啓子, 中島求: 肢体不自由者のための水泳用補助具の開発(片上腕切断の場合の最適設計と被験者実験), バイオメカニズム学会誌, 30-4, 216/224 (2006)
- 15) 中島求: ヒューマノイドの水中モビリティ(水泳運動時における設計用シミュレーション), 日本機械学会 Robomec 2004 講演論文集, **04**-4, 2A1-H-69(CD-ROM) (2004)
- 16) 茂木勇悟, 中島求, 伊藤慎一郎, 仰木裕嗣: 水着に装着した浮力体が泳ぎに及ぼす影響, 日本機械学会流体工学部 門講演会講演論文集, 402(CD-ROM) (2006)
- 17) 米山啓子, 中島求, 三好扶:下肢に働く流体力を考慮した水中ウォーキングのシミュレーション, 日本機械学会流体工学部門講演会講演論文集, 403(CD-ROM) (2006)
- 18) S. Sugimoto, M. Nakashima, H. Ichikawa and T. Nomura: Estimation of Thrusts Generated by Each Body Part During Underwater Dolphin Kick Using "SWUM", Biomechanics and Medicine in Swimming X, 100/102 (2006)